

1) Maxwell-Gauss : $\operatorname{div} \vec{E} = \frac{\rho}{\epsilon_0}$

$$\vec{E} = -\operatorname{grad} V$$

$$\Rightarrow \operatorname{div}(-\operatorname{grad} V) = \frac{\rho}{\epsilon_0}$$

or $\operatorname{div}(\operatorname{grad}) = \Delta$ (Laplacien)

donc $\Delta V + \frac{\rho}{\epsilon_0} = 0$ (OK)

ρ charge volumique en C.m^{-3}

ϵ_0 permittivité diélectrique du vide

si on utilise la capacité $C = \frac{\epsilon_0 S}{d}$ du condensateur plan alors ϵ_0 en F.m^{-1} (l'unité est donnée en 18)

2). Analogie gravitationnel par remplacement de $\frac{1}{4\pi\epsilon_0}$ par $-g$ de \vec{E} par G

$$\rightarrow \Delta V_{\text{grav.}} - \frac{4\pi g}{\epsilon_0} \rho_{\text{grav.}} = 0$$

en diffusion thermique, en régime permanent, sans source $\Delta T = 0$.
Avec source, on a un terme lié à la production interne de chaleur.

$$\Delta T + \frac{q}{k} = 0 \quad \text{où } q \text{ est}$$

la puissance volumique absorbée par le milieu et k sa conductivité thermique

3) En coordonnées cartesiennes

$$\Delta V = \frac{\partial^2 V}{\partial x^2} + \frac{\partial^2 V}{\partial y^2}$$

En remplaçant $x = LX$ $y = LY$

cela donne $\Delta V = \frac{1}{L^2} \left(\frac{\partial^2 V}{\partial x^2} + \frac{\partial^2 V}{\partial y^2} \right)$

d'où $\frac{\partial^2 V}{\partial x^2} + \frac{\partial^2 V}{\partial y^2} + \frac{\rho L^2}{\epsilon_0} = 0$

Alors $\left| \rho' = \frac{\rho L^2}{\epsilon_0} \right. \quad \text{et} \quad \left. \frac{\partial^2 V}{\partial x^2} + \frac{\partial^2 V}{\partial y^2} + \rho' = 0 \right.$

$$V(x_i+h, y_j) = V(x_i, y_j) + \frac{\partial V}{\partial x} h + \frac{1}{2} \frac{\partial^2 V}{\partial x^2} h^2$$

$$V(x_i-h, y_j) = \dots - \dots + \dots$$

$$V(x_i, y_j+h) = V(x_i, y_j) + \frac{\partial V}{\partial y} h + \frac{1}{2} \frac{\partial^2 V}{\partial y^2} h^2$$

$$V(x_i, y_j-h) = \dots - \frac{\partial V}{\partial y} h + \dots$$

on ajoute : $V(x_i+h, y_j) + V(x_i-h, y_j) + V(x_i, y_j+h) + V(x_i, y_j-h)$

$$V(x_i, y_j) = \frac{1}{4} V(x_i, y_j) + \left(\frac{\partial^2 V}{\partial x^2} + \frac{\partial^2 V}{\partial y^2} \right) h^2$$

d'où $\frac{\partial^2 V}{\partial x^2} + \frac{\partial^2 V}{\partial y^2} = \frac{V(x_i+h, y_j) + V(x_i-h, y_j) + V(x_i, y_j+h) + V(x_i, y_j-h)}{h^2}$ (OK)

5) Alors $\frac{\partial^2 V}{\partial x^2} + \frac{\partial^2 V}{\partial y^2} = V(i+1, j) + V(i-1, j) + V(i, j+1) + V(i, j-1) - 4V(i, j) + \rho' h^2$

partant de $\frac{\partial^2 V}{\partial x^2} + \frac{\partial^2 V}{\partial y^2} + \rho' = 0$ on arrive à :

$$V(i+1, j) + V(i-1, j) + V(i, j+1) + V(i, j-1) - 4V(i, j) + \rho' h^2 = 0$$

on arrive à (1) de l'énoncé avec $\rho'' = \rho' h^2$
soit $\rho'' = \frac{\rho L^2 h^2}{\epsilon_0}$

(le corrigé de la partie modélisation et
gracieusement donné par un collègue)
def nouveau-potentiel(V, rho, frontiere, i, j);
if frontiere(i, j) == True
return V[i, j]
else

$$\text{ref} = 0.25 * [V[i, j+1] + V[i, j-1] + V[i+1, j] + V[i-1, j]] + \text{rho}[i, j]$$

return ref;

7) La nouvelle valeur de $V[i, j]$ nécessite toutes les anciennes valeurs, en particulier celle de $V(i-1, j)$

et si on calcule à $i \neq 1$, $V(i-1, j)$ vient donc de prendre sa nouvelle valeur qui ne doit donc pas remplacer l'ancienne, d'où la nécessité pendant une itération d'avoir 2 tableaux, l'ancien pour tous les calculs pendant l'itération et le nouveau de lequel seront placées les nouvelles valeurs qui serviront d'ancienne à l'itération suivante.

8) Calcul de l'erreur :

```
def calcul_erreur(V1, V2):
    N, M = V1.shape
    E = 0
    for i in range(N):
        for j in range(N):
            E += (V1[i, j] - V2[i, j]) ** 2
    err = math.sqrt(E) / N
    return err
```

def itere_SOR(V, rholos, frontiere) :

```
V1 = np.copy(V)
N, M = V1.shape
for i in range(N):
    for j in range(N):
        V1[i, j] = nouveau_potentiel(V1, rholos, frontiere, i, j, omega)
err = calcul_erreur(V1, V)
return err
```

(Rq : ancienne matrice V_1
on modifie V en utilisant V_1)

9) def poisson(f_iter, V, rholos, frontiere, eps) :

```
err = 2 * eps
while err >= eps:
    err = f_iter(V, rholos, frontiere)
```

10) On utilise maintenant la nouvelle valeur de $V(i-1, j)$ et de $V(i, j-1)$. Le changement se fait en cours d'une même itération.
Donc on peut utiliser 1 seule matrice modifiable en temps réel.

On garde nouveau-potentiel qu'on applique à V et non à V_1 .

11) def itere_GS(V, rholos, frontiere) :

```
V1 = np.copy(V)
N, M = V1.shape
for i in range(N):
    for j in range(N):
        V1[i, j] = nouveau_potentiel(V, rholos, frontiere, i, j)
```

err = calcul_erreur(V1, V) (2)
return err

12) def nouveau_potentiel_SOR(V, rholos, frontiere, i, j, omega) :

```
return V(i, j) * (1 - omega) + omega * nouveau_potentiel(V, rholos, frontiere, i, j)
```

(Rq : pas besoin de faire recopier, on utilise la définition de nouveau-potentiel)

13) def itere_SOR(V, rholos, frontiere) :

```
V1 = np.copy(V)
N, M = V1.shape
omega = 2 / (1 + math.pi / N)
for i in range(N):
    for j in range(N):
        V1[i, j] = nouveau_potentiel_SOR(V, rholos, frontiere, i, j, omega)
err = calcul_erreur(V1, V)
return err
```

14)

$$15) E_{x,i,j} = -\frac{\partial V}{\partial x} = -\frac{V(i+1,j) - V(i,j)}{h L}$$

(en effet $V(i+1,j) = V(i,j) + \frac{\partial V}{\partial x} h$ et $\frac{\partial V}{\partial x} = \frac{1}{L} \frac{\partial V}{\partial x}$)

De m $E_{y,i,j} = -\frac{V(i,j+1) - V(i,j)}{h L}$

Aux frontières $E_{x,(N,j)} = -\frac{V(N,j) - V(N-1,j)}{h L} = \frac{E}{h L}$



16) La charge est invariante selon l'axe z si le cylindre est infini

Elle est invariante par rotation. Donc E ne dépend que de r distance à l'axe.

Tous plans passant par $(r, \hat{e}_r, \hat{e}_\theta)$ et par $(r, \hat{e}_r, \hat{e}_z)$ sont de symétrie pour la charge donc $\vec{E} \parallel \hat{e}_r$.

Résumé : $\vec{E} = E(r) \hat{e}_r$ OK

Les équipotentielles sont \perp lignes \vec{E} donc sont des cylindres d'axe z.

17) Th. de Gaus sur surface de Gauss fermée = cylindre d'axe z passant par M , hauteur h .

$$\oint \vec{E} \cdot d\vec{s} = \frac{q_{int}}{\epsilon_0}$$

$$\oint \vec{E} \cdot d\vec{s} = \iint \vec{E} \cdot d\vec{s} + \iint \vec{E} \cdot d\vec{s} + \iint \vec{E} \cdot d\vec{s}$$

surfaces dessous dessous plat

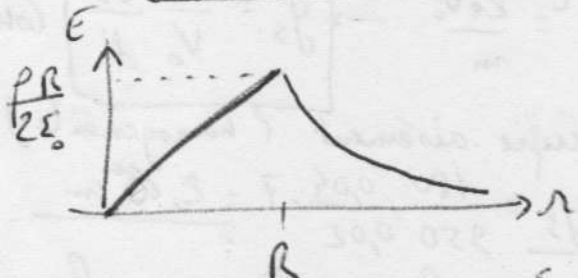
$$= 0 + 0 + E(r) 2\pi r h$$

Pour q_{int} , 2 cas à envisager :

$r \geq R$ alors $q_{int} = \rho \pi R^2 h$

$r \leq R$ alors $q_{int} = \rho \pi r^2 h$

$$\begin{cases} \text{si } r > R \quad E(r) = \frac{\rho R^2}{2 \epsilon_0} \\ \text{si } r \leq R \quad E(r) = \frac{\rho r}{2 \epsilon_0} \end{cases}$$



$$18) \text{AN} \quad E_{max} = \frac{\rho R}{2 \epsilon_0} = \frac{10^{-5} \times 5 \times 10^{-2}}{2 \times 8.85 \times 10^{-12}}$$

$$E_{max} = 2,82 \times 10^4 \text{ V.m}^{-1}$$

$$E(r=2R) = \frac{1}{2} E_{max} = 1,41 \text{ V.m}^{-1}$$

19) def dans_cylindre(x, y, xc, yc, R): ③
 $calc = (x - xc)^{**2} + (y - yc)^{**2}$
 return $calc \leq R^{**2}$

(Rq True si $(x - x_c)^2 + (y - y_c)^2 \leq R^2$)
 False sinon

20) def initialise_rhos_cylindre(tab_rho):

$$\text{Rq } \downarrow R = \frac{L}{4} \quad h = \frac{L}{N}$$

en 5) $\rho'' = \frac{\rho L^2 h^2}{\epsilon_0} \text{ questions} = \frac{\rho L^2}{\epsilon_0} \left(\frac{1}{N}\right)^2 = \frac{\rho h^2}{\epsilon_0}$

lire énoncé page 2 "pas $h = \frac{1}{N}$ "

Le centre du cylindre est $(\frac{L}{2}, \frac{L}{2})$

$$ref = rho / \epsilon_0 * h^{**2}$$

for i in range(N+1):

for j in range(N+1):

if dans_cylindre(i*h, j*h, L/2, L/2, L/4):

$$\text{tab_rho}(i, j) = ref$$

(Rq : pour les points dans le cylindre on aura remplacé les 0 par 1 ds tab_rho)
 sinon on laisse 0 ceutres.

21) La frontière contient les points $i=0$ ou $i=N$ ou $j=0$ ou $j=N$.

def initialise_frontiere_cylindre(tab_f):

for i in range(N+1):

$$\text{tab_f}[i, 0] = 1$$

$$\text{tab_f}[i, N] = 1$$

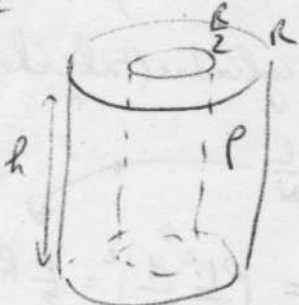
$$\text{tab_f}[0, i] = 1$$

$$\text{tab_f}[N, i] = 1$$

22) Les équipotentialles se déforment au fur et à mesure qu'on approche du centre où $V=0$ (Au début ce sont bien des cercles).

Le champ E respecte la linéarité à l'intérieur ; la divergence en $\frac{1}{r}$ à l'extérieur semble limitée aux bords.
 On lit $E_{max} \approx 28000 \text{ V.m}^{-1}$ satisfaisant
 $E_{(2R)} = 18000 \text{ V.m}^{-1}$ moins satisfaisant

23) $E = 0$ jusqu'en $\frac{R}{2}$. Il n'y a donc pas de charge jusqu'en $\frac{R}{2}$. C'est un cylindre creux chargé entre $\frac{R}{2}$ et R .



Le th de Gauss mènera par qint :

$$q_{\text{int}} = 0 \text{ si } r < \frac{R}{2}$$

$$q_{\text{int}} = \rho \pi (r^2 - \frac{R^2}{4}) h \text{ si } \frac{R}{2} < r < R$$

$$q_{\text{int}} = \rho \pi (R^2 - \frac{R^2}{4}) h \text{ si } r > R$$

d'où

$$E = 0 \text{ si } r < \frac{R}{2}$$

$$E = \frac{\rho (r^2 - \frac{R^2}{4})}{2 \epsilon_0 r} \text{ si } \frac{R}{2} < r < R$$

$$E = \frac{\rho \frac{3}{4} R^2}{2 \epsilon_0 r} \text{ si } r > R$$

Le champ max est obtenu en R

$$E_{\text{max}} = \frac{3}{4} \frac{\rho R}{2 \epsilon_0} = \frac{3}{4} \times \frac{2,82 \cdot 10^{-4}}{\text{calcul en 18}} = 2,11 \cdot 10^4 \text{ V.m}^{-1}$$

À la lecture fig 5 : $E_{\text{max}}(R) = 21000 \text{ V.m}^{-1}$

C'est satisfaisant.

24) $E_m = ct$ (pas de frottement)

$$\Rightarrow \frac{1}{2} m v^2 - eV = ct$$

$$0 - 0 = \frac{1}{2} m v_0^2 - eV_0 \rightarrow v_0 = \sqrt{\frac{2eV_0}{m}}$$

$$\text{AN: } v_0 = \sqrt{\frac{2 \times 1,6 \times 10^{-19} \times 950}{9,11 \times 10^{-31}}} = 1,83 \cdot 10^7 \text{ m.s}^{-1}$$

C'est quand-même proche de $c = 3 \cdot 10^8 \text{ m.s}^{-1}$
On est à la limite classique/relativiste.

25) Condensateur plan ∞ : $E = \frac{2V_p}{d}$

$$E = \frac{2 \times 180}{2 \times 10^{-2}} = 1,8 \cdot 10^4 \text{ V.m}^{-1}$$

\vec{E} du + vers -

$$\vec{E} = - \frac{2V_p}{d} \hat{y}$$

26) PFD à e^- : $m \frac{dv}{dt} = -e \vec{E}$ (4)
 $\vec{v} = \vec{v}_0 + \vec{v}$ (v0 négligé)
on veut $y(x)$

$$\ddot{v} = - \frac{e}{m} \vec{E} t + \vec{v}_0$$

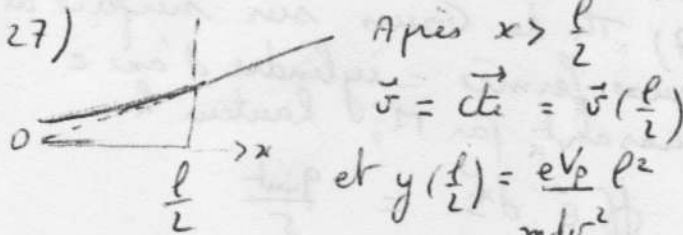
$$\ddot{x} = - \frac{e}{m} \vec{E} t^2 + \vec{v}_0 t + \vec{x}_0$$

$$y = 2 \frac{e}{m} \frac{2V_p}{d} t^2$$

$$y = \frac{eV_p}{mdv_0^2} (t^2 + \frac{d}{2})$$

Tant que l'arc est dans E , c'est à dire $t < \frac{d}{2}$

27)



Après $x > \frac{d}{2}$

$$\vec{v} = \vec{cte} = \vec{v}\left(\frac{d}{2}\right)$$

$$\text{et } y\left(\frac{d}{2}\right) = \frac{eV_p}{mdv_0^2} \frac{d^2}{4}$$

$$x = \frac{d}{2} \Rightarrow x' = d \Rightarrow t = \frac{d}{v_0}$$

$$\Rightarrow \vec{v}\left(\frac{d}{2}\right)\left(v_0 - \frac{e}{m} E \frac{d}{2}\right) = \left(v_0, \frac{2eV_p d}{mdv_0^2}\right)$$

$$\Rightarrow y = - \frac{2eV_p d}{mdv_0^2} (x - \frac{d}{2}) + \frac{eV_p d^2}{mdv_0^2}$$

$$y = \frac{2eV_p d}{mdv_0^2} x \quad (\text{OK})$$

Fig 7 montre que cette droite passe par O (normal c'est linéaire)

$$y_s = y(D) = \frac{eV_p d}{mdv_0^2} D$$

$$\text{or } v_0 = \frac{2eV_0}{m} \rightarrow y_s = \frac{V_p}{V_0} \frac{D}{d} \quad (\text{OK})$$

(on vérifie aisément l'homogénéité).

$$\text{AN: } y_s = \frac{180}{950} \frac{0,04}{0,02} \cdot 7 = 2,65 \text{ cm}$$

28) Aucune charge volumique : rho est la matrice nulle.

29) Rg $\forall i, j=0 : V=0$ bord inférieur

$\forall i, j=N : V=0$ bord supérieur

$\forall j, i=0 : V=0$ bord gauche

$\forall j, i=N : V=0$ bord droit

def initialise-frontiere-condensateur(tab_V, tab_f):

for i in range(N+1):

$$\text{tab_f}[i, 0] = 1$$

$$\text{tab_f}[0, i] = 1$$

$$\text{tab_f}[i, N] = 1$$

$$\text{tab_f}[N, i] = 1$$

for i in range(10, 50):

$$\text{tab_f}[i, 40], \text{tab_V}[i, 40] = 1, -V_p$$

$$\text{tab_f}[i, 60], \text{tab_V}[i, 60] = 1, V_p$$

Rq: 10 à 50 correspond à la largeur du condensateur
40 correspond au bord inférieur à $-V_p$
60 à son bord supérieur à V_p

30) Ça ressemble à un d.p.:

$$E_x(x, y) = E_x(ih + \gamma_x, jh + \gamma_y) \\ = E_x(ih, jh) + \frac{\partial E_x}{\partial x} \gamma_x + \frac{\partial E_x}{\partial y} \gamma_y$$

$$\text{or } \frac{\partial E_x}{\partial x}(i, j) = \frac{E_x(i+1, j) - E_x(i, j)}{h}$$

d'où

$$E_x(x, y) = E_x(i, j) + \frac{1}{h} (E_x(i+1, j) - E_x(i, j)) \gamma_x \\ + \frac{1}{h} (E_x(i, j+1) - E_x(i, j)) \gamma_y$$

(OK)

$$E_y(x, y) = E_y(i, j) + \frac{1}{h} (E_y(i+1, j) - E_y(i, j)) \gamma_x \\ + \frac{1}{h} (E_y(i, j+1) - E_y(i, j)) \gamma_y$$

On a calculé E_x, E_y aux points de coordonnées $x = ih$, $y = jh$
on pourra obtenir E_x, E_y pour $x = ih + \gamma_x$, $y = jh + \gamma_y$
en choisissant γ_x, γ_y entre 0 et h, donc en tout point.

$$31) \quad v_x = \frac{dx}{dt} \rightarrow \delta x = v_x \delta t$$

$$v_y = \frac{dy}{dt} \rightarrow \delta y = v_y \delta t$$

$$m_{ay} = -eE_y \rightarrow \delta m_{ay} = -\frac{e}{m} E_y \delta t$$

$$m_{ax} = -eE_x \rightarrow \delta m_{ax} = -\frac{e}{m} E_x \delta t$$

(OK)

32) $\vec{v} = \vec{v}_0$ quand $x = 1 \text{ cm}$, $y = 5 \text{ cm}$ (cf fig 8) (5)

Comme $v_x = \text{cte}$, durée pour parcourir la largeur totale = $\frac{L}{v_x} = \frac{L}{v_0}$

on veut $\frac{L}{v_0} = N \delta t$ donc $\delta t = \frac{L}{N v_0} = \frac{L}{200 v_0}$

$$\text{AN: } \frac{\delta t}{200 \times 1,87 \times 10^7} = 0,27 \cdot 10^{-10}$$

$$33) \quad v_0 = \text{math.sqrt}(2 * e * V_0 / m)$$

$$\delta t = L / (200 \times v_0)$$

$$l_x[0] = 1E-2$$

$$l_y[0] = 5E-2$$

$$l_{vx}[0] = v_0$$

$$l_{vy}[0] = 0$$

34) for k in range(1, Npts):

$$l_x[k] = l_x[k-1] + l_{vx}[k-1] * dt$$

$$l_y[k] = l_y[k-1] + l_{vy}[k-1] * dt$$

$$l_{vx}[k] = l_{vx}[k-1] - e/m * dt *$$

val $E_x(E_x, E_y, l_x[k-1], l_y[k-1], k)$

$$l_{vy}[k] = l_{vy}[k-1] - e/m * dt *$$

val $E_y(E_x, E_y, l_x[k-1], l_y[k-1], k)$

35) Le calcul en 27 a donné $y_s = 2,65 \text{ cm}$
par rapport au milieu du condensateur

La courbe (2) arrive entre 0,07 et 0,08 cm qui fait bien un décalage entre 0,02 et 0,03 cm

La courbe (1) arrive entre 0,08 et 0,09 cm qui fait un + grand décalage > 0,03 cm

La courbe (2) est donc la théorique

Cette courb théorique n'a pas tenu compte des lignes de champ en sortie du condensateur (effets de bord)

L'écart avec la simulation (+ proche de la vérité) est d'environ $\frac{0,083 - 0,076}{0,083} \approx 30\%$

